

佐賀大学ビームラインにおける電子材料研究

高橋 和敏

佐賀大学シンクロトロン光応用研究センター

佐賀大学シンクロトロン光応用研究センターは、九州地域の大学や国内外の研究教育機関との連携によるシンクロトロン光応用研究および関連する研究教育活動などを行うことを目的の1つとして掲げ、SAGA-LSの開所時からナノスケール表面界面ダイナミクスビームライン(BL13)を整備し、利用を継続している。ビームラインは平面型アンジュレータと偏向部を光源とする2つの実験ステーションから構成されており、現在、約34~850eVおよび2~150eVのシンクロトロン光と、エンドステーションに設置した短パルスレーザーを用いた光電子分光測定、吸収、蛍光測定が可能である[1,2]。低エネルギー領域を用いるステーションには紫外可視分光器を設置しており、深紫外領域での励起によるワイドギャップ半導体材料の光学特性の評価を行うこともできる。2つのステーションに設置の光電子分析装置は、いずれもレンズ部で電子軌道を偏向することができる2次元角度分解型であり、高エネルギー分解能での内殻スペクトルの測定に加えて、シンクロトロン光の光子エネルギー走査と合わせることによる3次元バンド分散の同定や、フェルミ面マッピングでの円2色性を通じた軌道およびスピン角運動量状態の解明が可能であり、次世代のパワーデバイス[3]、画像センサ[4]、光半導体材料[5]、新規低次元材料[6]での界面化学状態やバンド構造の決定に強力な設備である。

rocksalt(rs)構造のCdOは、電子有効質量が小さいために、赤外域でも高い透過率を示す透明導電性材料である。14~130eVの光子エネルギー範囲で行ったARPES測定からは、Znとの混晶化において伝導帯底の位置や有効質量は大きく変化しないのに対し、価電子帯は格子定数の減少とpd混成の減少を反映して高結合エネルギー側にシフトするとともに間接ギャップが大きくなることや、表面領域の厚さ約30Åの電荷蓄積層のために、伝導帯は量子化サブバンドを形成することを見いだした[5]。これらの量子化サブバンドは異種材料との接合などにより電荷量を制御することが出来る。例えば、Bi₂O₃/CdO界面の形成においては、CdO表面のバンドベンディングは約0.5eV増加することや、量子化サブバンドは清浄表面での有効質量を保持しながら約0.3eV高結合エネルギー側にシフトすることを同定した。

- [1] K. Takahashi, M. Imamura, I. Yamamoto, J. Azuma, K. Ogawa, M. Kamada, H. Ohkuma, and S. Yamamoto, *J. Phys.: Conf. Ser.* **425**, 072007 (2013).
- [2] K. Takahashi, M. Imamura, I. Yamamoto, and J. Azuma, *AIP Conf. Proc.* **2054**, 040011 (2019).
- [3] N. C. Saha, K. Takahashi, M. Imamura, and M. Kasu, *J. Appl. Phys.* **128**, 135702 (2020).
- [4] A. Suzuki, K. Takahashi, R. Okuyama, T. Kadono, K. Kobayashi, R. Hirose, A. Onaka-Masada, Y. Koga, and K. Kurita, *J. Electrochem. Soc.* **167**, 127505 (2020).
- [5] K. Takahashi, M. Imamura, J. H. Chang, T. Tanaka, K. Saito, Q. Guo, K. M. Yu, and W. Walukiewicz, *Sci Rep* **9**, 8026 (2019).
- [6] Y. Tsujikawa, M. Sakamoto, Y. Yokoi, M. Imamura, K. Takahashi, R. Hobara, T. Uchihashi, and A. Takayama, *AIP Advances* **10**, 085314 (2020).

佐賀大学ビームラインにおける電子材料研究

佐賀大学
シンクロトロン光応用研究センター

高橋和敏

Outline

1. 佐賀大学ビームラインの概要
設備、利用状況
2. 光電子分光法による電子状態分析
Cd_xZn_{1-x}Oの3次元バンド構造
Bi₂O₃/CdO界面の2次元電子ガス
Si_xGe_{1-x}の表面構造と3次元バンド構造
3. まとめと展望

210823 SAGALS(成果報告会)

2

Acknowledgments

ビームライン 今村真幸
レーザー、時間分解 山本勇、東純平
デバイス作製 斎藤勝彦、郭其新

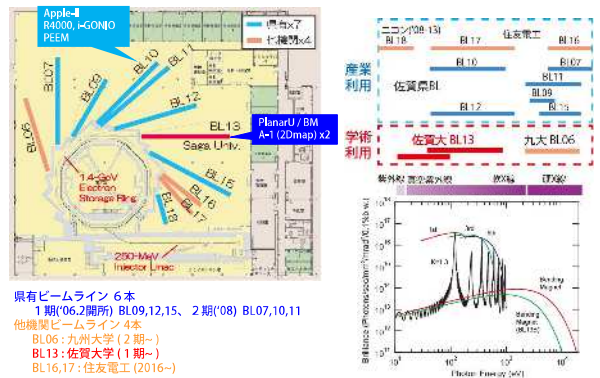
CdO H.C. Jang、田中徹、K. M. Yu、W. Walukiewicz
SiGe 梅田裕稀、高井良真里奈、生駒嘉史、荒井康智

文部科学省特別経費(プロジェクト)H28~R03
「九州地域シンクロトロン光活用拠点におけるイノベーション技術開発と人材育成」
「超顕微科学研究拠点事業」(阪大、九大、生理研、佐賀大)
科研費 26286008, 16K13726, 20K03821

210823 SAGALS(成果報告会)

3

SAGA-LS内 ビームラインの現状

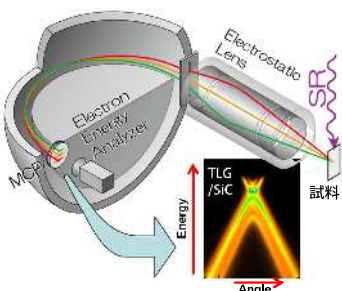


210823 SAGALS(成果報告会)

4

角度分解光電子分光 (ARPES)

光電子のエネルギー・角度分布を測定
→ バンド分散関係 $E(k_x, k_y, k_z)$ を実験的に決定



バンド分散関係 $E(k)$

金属・半導体材料の機能の起源

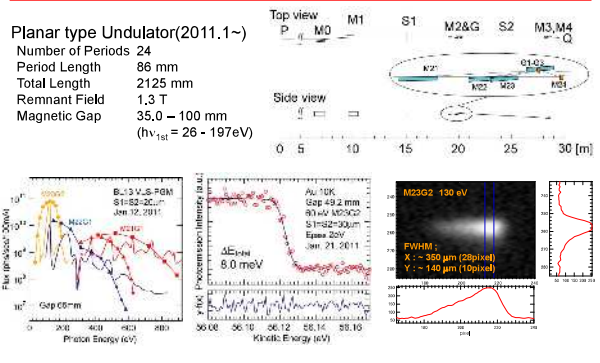
角度分解光電子スペクトル $I(E, \theta)$

エネルギー保存則
 $E_0 = h\nu - E_k - \phi$
運動量保存則
 $k_{\parallel} = K_{\parallel}$
 $= (2m_e E_0 / \hbar)^{1/2} \sin \theta$
バンド分散関係 $E(k)$
スピン検出器
超短パルスレーザー
 $E(k, \sigma, \theta)$

210823 SAGALS(成果報告会)

5

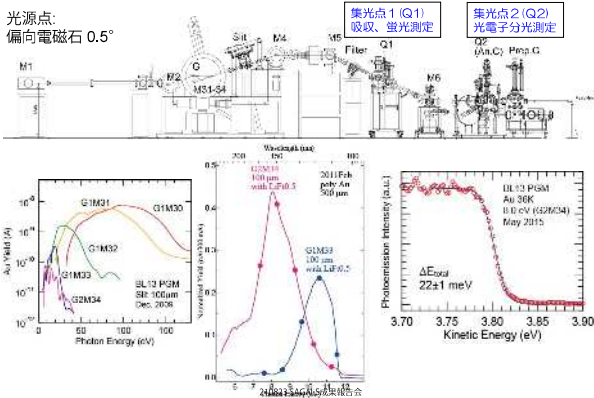
BL13 VLSステーション：概要



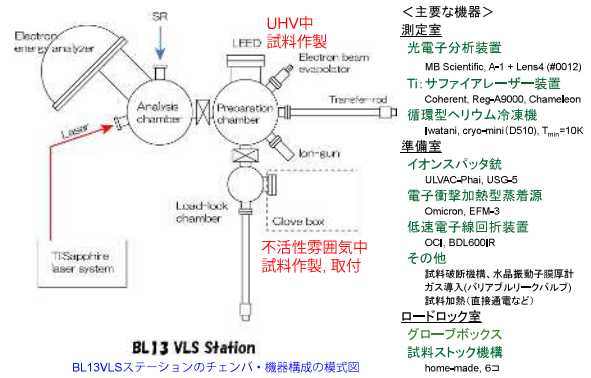
210823 SAGALS(成果報告会)

6

BL13 PGMステーション：概要

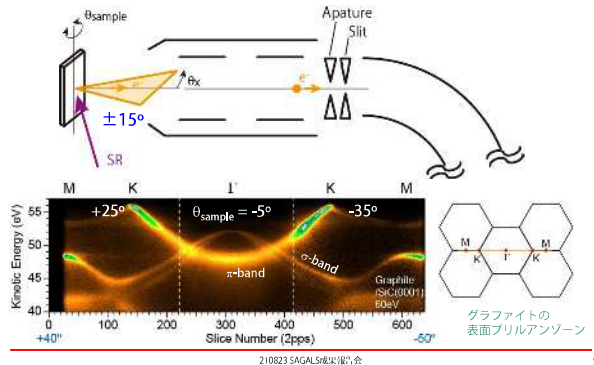


エンドステーション概要



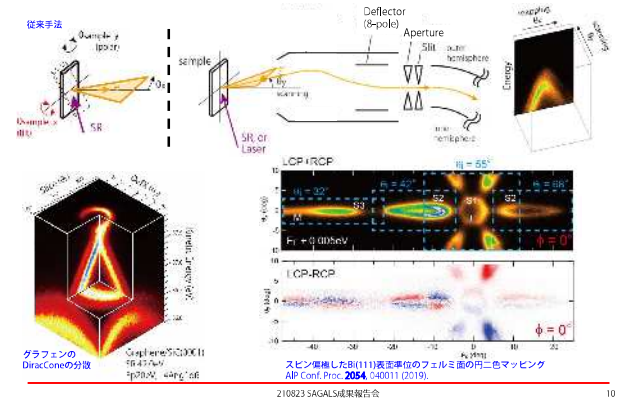
バンド分散測定の配置

θ_s についての同時測定と試料回転 θ_{sample} により、高対称線上バンド分散の高効率測定



2次元マッピング型電子レンズ : A-1 Lens4

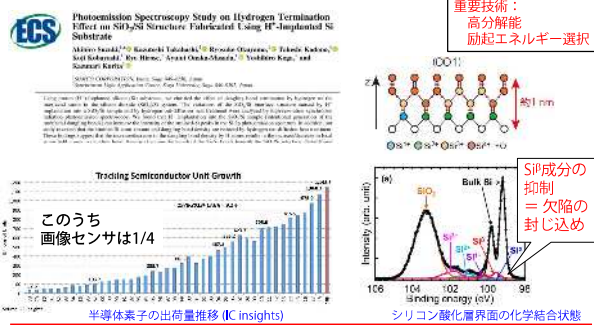
MB SCIENTIFIC AB
2013, 2014



高感度シリコン画像センサ

A. Suzuki et al.
J. Electrochem. Soc. 167,
127505 (2020).

課題：ノイズ低減=不要電子の原因元素や欠陥の封じ込めがカギ
→ ◎ 高分解能の放射光内殻PESによる化学結合状態分析



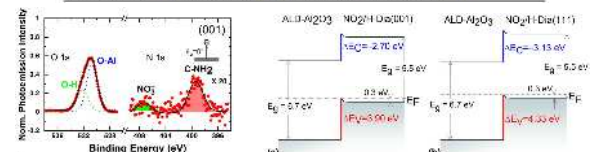
ダイヤモンド半導体の伝導特性の起源

Journal of Applied Physics

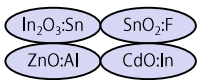
Observation of nitrogen species at Al₂O₃/NO₂/H-diamond interfaces by synchrotron radiation x-ray photoemission spectroscopy

Chen et al. Appl. Phys. 128, 135702 (2020) doi: 10.1063/1.5124646
Submitted: 3 August 2020 Accepted: 11 September 2020
Published Online: 1 October 2020

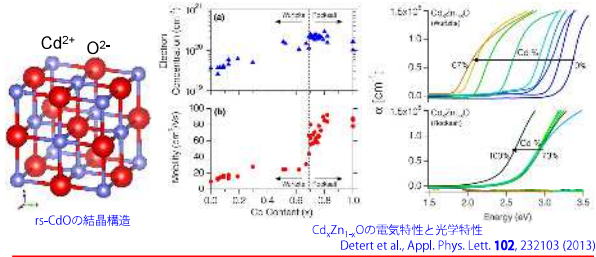
Nilesh Chandra Sena, Kazutoshi Takahashi, Masaki Imamura, and Makoto Kasu



透明導電性酸化物



CdO -- $E_g = 2.3 \sim 2.6 \text{ eV}$, $n = 10^{18} \sim 10^{20} \text{ cm}^{-3}$
 小さな有効質量のため赤外域透過率が高い
 Znでの置換 → バンドギャップが増大
 Zn 30%まで、高キャリア濃度と高移動度を示すrs構造を保持

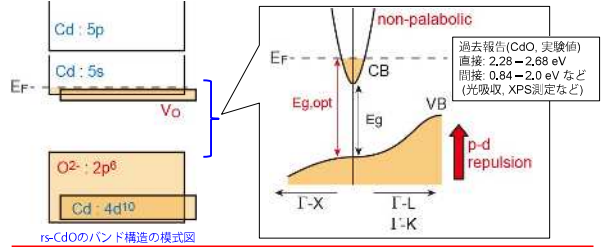


210823 SAGALS&E&R報告会

13

CdOのバンド構造

伝導帯 : Cd 5s, 5p 酸素空孔などのため縮退半導体
 価電子帯 : O 2p --- キャリア濃度によって光学ギャップが変化
 ・光学測定からのバンドギャップ評価が難しい (Burstein-Moss effect)
 ・p-d混成による間接ギャップの形成
 → 今回: 放射光ARPESによる3次元バンド分散測定



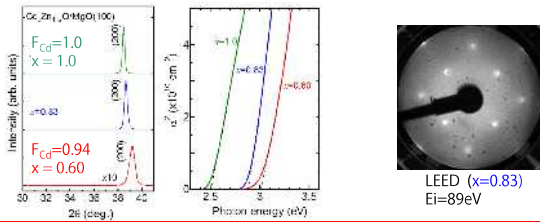
210823 SAGALS&E&R報告会

14

実験

Sci. Rep. **9**
8026 (2019).

[試料作製] MBE法 (K-セル(Cd(6N), Zn(7N)), 酸素ラジカル源)
 MgO(001)基板, $T_{\text{substrate}} = 250^\circ\text{C}$, 成長速度 1nm/min, 膜厚 100 nm
 [試料評価] RHEED, XRD, EDX, 可視吸収
 ホール測定 → $n \sim 2.3 - 6.1 \times 10^{20} \text{ cm}^{-3}$, $\mu \sim 25 - 62 \text{ cm}^2/\text{Vs}$
 [測定] UHV中300°Cアニールで清浄化, LEED
 内設 $h\nu = 700 \text{ eV}$, バンド分散 $h\nu = 14 - 130 \text{ eV}$, $T_{\text{measure}} = \text{室温}$

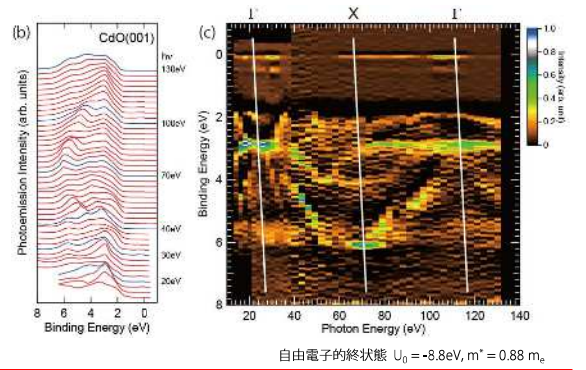


210823 SAGALS&E&R報告会

15

垂直放出スペクトル (14 - 130eV)

Sci. Rep. **9**
8026 (2019).

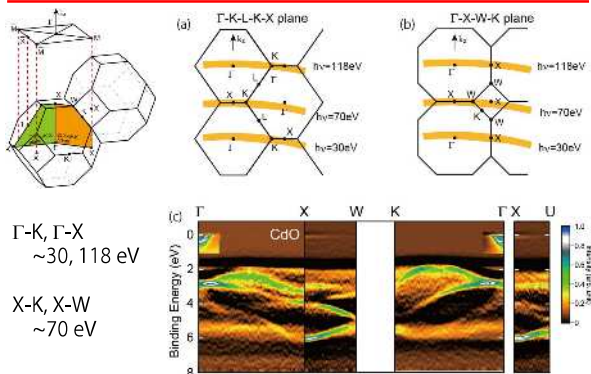


210823 SAGALS&E&R報告会

16

Cd_xZn_{1-x}O(001)の3次元ARPES測定

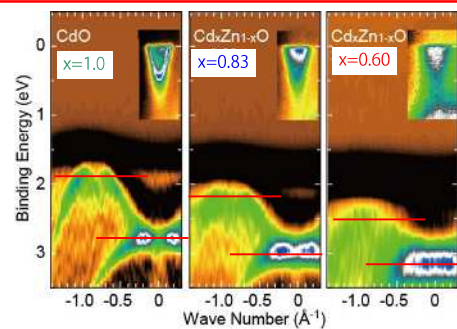
Sci. Rep. **9**
8026 (2019).



210823 SAGALS&E&R報告会

17

VBM付近のZn置換量依存性

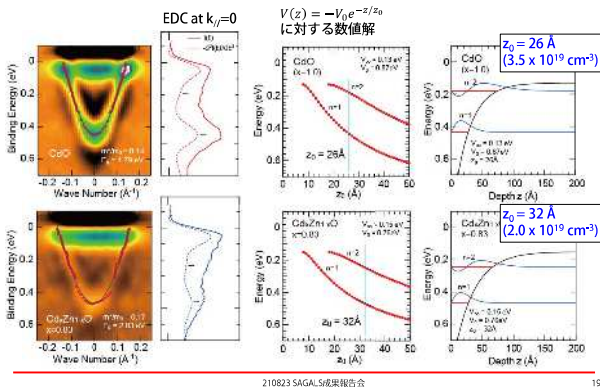


Zn置換量の増加 → 格子定数減少を反映したバンドギャップの増大
 → p-d混成の低下を反映した間接ギャップの増大

210823 SAGALS&E&R報告会

18

伝導帯サブバンドのエネルギー固有値



210823 SAGALS研究成果報告会

19

まとめ：rs-Cd_xZn_{1-x}O(001)の3次元バンド構造

rs-Cd_xZn_{1-x}O (x=1, 0.83, 0.60) について、14-130eVでのARPES測定により3次元バンド分散を明らかにした。

- Zn置換量の増加とともに、直接および間接ギャップが増加するが伝導帯底は大きな変化はしない。

$$E_{g, \text{direct}} = 1.79 \rightarrow 2.03 \rightarrow 2.0 \text{ eV}$$

$$E_{g, \text{indirect}} = 0.78 \rightarrow 1.09 \rightarrow 1.2 \text{ eV} \quad ; \text{p-d 混成の減少}$$

- 表面バンドベンディング領域への2次元電子ガス形成。
バルクキャリア濃度： $2-3 \times 10^{19} \text{ cm}^{-3}$
バンドベンディング：0.8-1.1 eV $\rightarrow z_0 \sim 30 \text{ \AA}$ の閉じ込めポテンシャル
 \rightarrow 表面キャリア濃度： $3-4 \times 10^{13} \text{ cm}^{-2}$

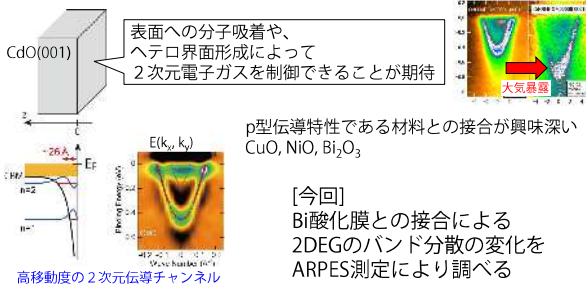
K. Takahashi et al.,
Sci. Rep. **9**, 8026 (2019).

210823 SAGALS研究成果報告会

20

ヘテロ構造作製による2次元電子ガスの制御

rs-CdO(001) : n型縮退半導体 ($E_c = E_f - 0.13 \text{ eV}$)
表面のバンドベンディング (0.74 eV, $z_0 \sim 26 \text{ \AA}$ (~11原子層))
小さな有効質量を持つ2次元電子ガス



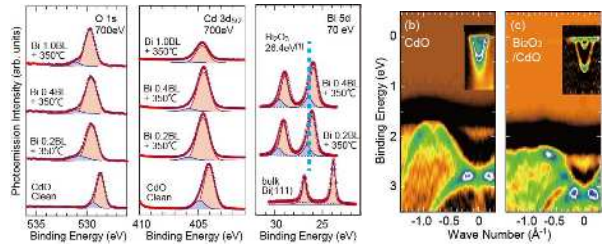
p型伝導特性である材料との接合が興味深い
CuO, NiO, Bi₂O₃

[今回]
Bi酸化膜との接合による
2DEGのバンド分散の変化を
ARPES測定により調べる

210823 SAGALS研究成果報告会

21

内殻スペクトル、価電子帯

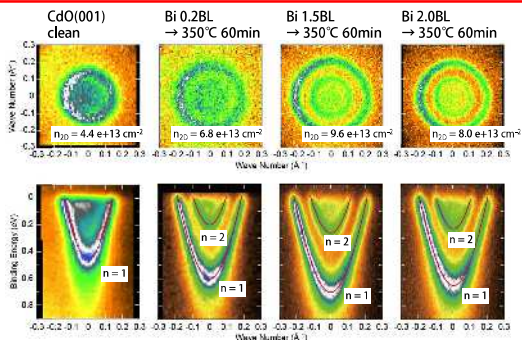


Bi 5d : Bi-oxideは Bi₂O₃ に類似の化学状態
O 1s, Cd 3d : 高結合エネルギー側にシフト = バンドベンディングの増大
CdO 価電子帯 : 高結合エネルギー側にシフト
伝導帯サブバンド : 高結合エネルギー側にシフト = 2DEG濃度の増大

210823 SAGALS研究成果報告会

22

Bi-oxide/CdO界面の伝導帯サブバンド



サブバンドの分散は、Kane modelでの非放射物線分散で良く記述できる
Bi₂O₃との接合により、界面での電荷量は約2倍に増加

210823 SAGALS研究成果報告会

23

まとめ

BL13佐賀大学ビームラインにおいて、VUV/SX領域での光電子分光実験、レーザーとの組合せによる光励起ダイナミクス研究を進めている。

- 高分解能内殻光電子分光による化学状態解明
- 角度分解光電子分光による光機能材料のバンド構造解明
- 低次元電子系の電子ダイナミクス解明
- 分子デバイスに向けた構造と電子状態解明

ビームラインを設置していることの強み (距離、時間、継続性)
これまでの利用支援の実績 (地方から知を創出できる体制) を活かし、研究、教育を進展させたい。

210823 SAGALS研究成果報告会

24